

## МЕТАНИЕ ШАРИКА ПЛОСКИМ СЛОЕМ ВВ

Ю. И. Фадеевко

(Новосибирск)

Рассматривается задача о движении шарика, ускоряемого продуктами детонации плоского слоя взрывчатого вещества (ВВ). Начальная конфигурация изображена на фиг. 1.

Плоскости  $AA$ ,  $CC$  ограничивают плоский слой  $ВВ$  толщиной  $l$ , плотностью  $\rho_0$  и скоростью детонации  $D$ ; показатель адиабаты продуктов детонации  $\gamma = 3$ . Заряд инициируется мгновенно по всей плоскости  $AA$ , и в момент  $t = l/D$  волна детонации выходит на плоскость  $CC$  с начальной координатой  $x = l$ .

Разлет продуктов детонации описывается выражением [1]

$$x = Dt \left[ 1 - \frac{3}{2} \sqrt{\frac{Dt-l}{Dt} \left( 1 - \frac{a}{l} \right)} \right] \quad (1)$$

где  $a$  — начальное расстояние от плоскости  $AA$  до данного слоя заряда.

В момент  $t_0 = X_0/D$  фронт разлетающихся продуктов достигает точки  $X_0$ , где покоится шарик радиуса  $r$  и плотности  $\rho_1$ , и начинается разгон шарика газами. Поток газов действует на шарик с силой

$$F = k(v) \rho r^2 v^2 \quad (2)$$

где  $\rho$  — плотность газов,  $v$  — их скорость относительно шарика.

Согласно экспериментальным данным Ходжса [2] и других авторов, при сверхзвуковом обтекании шарика

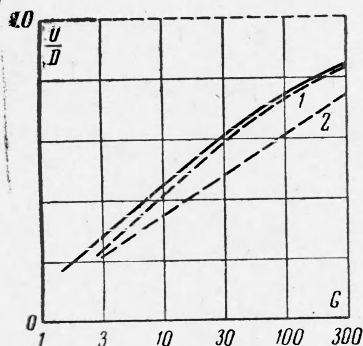
$$k(v) = \text{const} = 1.436 \quad (3)$$

Пренебрегая влиянием конечности размеров шарика и отличием режима обтекания от установившегося, можно использовать (2) и (3) для решения рассматриваемой задачи до тех пор, пока обтекание остается сверхзвуковым. Тогда, если ввести обозначения  $X$ ,  $X'$  для координаты и скорости шарика и  $x$  для скорости слоя газа, содержащего шарик, так что

$$v = x' - X'$$

то уравнение движения шарика можно записать в виде

$$X'' = 0.343 \frac{\rho}{r\rho_1} (x' - X')^2 \quad \left( (\dots)' = \frac{d}{dt} \right) \quad (4)$$



Фиг. 2

В том частном случае, когда  $X_0 \gg l$ , из (1) и (4) можно получить точное аналитическое выражение для предельной скорости шарика

$$U = \lim X' \quad \text{при } t \rightarrow \infty$$

Соответствующие выкладки довольно громоздки, поэтому здесь приводится только окончательный результат

$$\frac{U}{D} = 1 - \sqrt{\frac{2}{G}} \psi^{-1} \left( \sqrt{\frac{G}{2}} \right) \quad \left( \psi(z) = \int_0^z e^{-\tau^2} d\tau, G = 0.304 \frac{l\rho_0}{r\rho_1} \right) \quad (5)$$

где  $\psi^{-1}$  — обратная функция по отношению к функции  $\psi$ .

Таким образом, величина  $U$  оказывается зависящей только от  $D$  и  $G$ . Эта зависимость графически изображается сплошной линией на фиг. 2.

Практически интересен общий случай произвольного  $X_0$ . В этом случае движение шарика находилось приближенными вычислениями. Из (1) могут быть получены следующие выражения:

$$x' = D \left( \frac{x}{t} - \frac{1}{2} \frac{Dt - x}{Dt - l} \frac{l}{t} \right) \\ \rho = \rho_0 \frac{\partial a}{\partial x} = \frac{8}{9} \rho_0 \frac{Dt - x}{Dt - l} \frac{l}{Dt}, \quad M = \frac{x' - X'}{c} = 2 \frac{t}{l} \frac{Dt - l}{Dt - x} (x' - X') \quad (6)$$

Из (4) и (6)

$$X'' = \frac{G}{Dt} \frac{Dt - X}{Dt - l} \left[ X' - \frac{X}{t} + \frac{1}{2} \frac{Dt - X}{Dt - l} \frac{l}{t} \right]^2 \quad (7)$$

Можно положить  $l = D = 1$ , что эквивалентно переходу к новым, безразмерным переменным

$$X \rightarrow \frac{X}{l}, \quad t \rightarrow \frac{Dt}{l}$$

Тогда (6) и (7) преобразуются в

$$X'' = \frac{G}{t} \frac{t - X}{t - 1} \left[ X' - \frac{X}{t} + \frac{1}{2t} \frac{t - X}{t - 1} \right]^2 \quad (8)$$

$$M = 2t \frac{t - 1}{t - X} \left[ X' - \frac{X}{t} + \frac{1}{2t} \frac{t - X}{t - 1} \right] \quad (9)$$

Уравнение (8) интегрировалось с начальными условиями  $X_0 = 1.1, 1.5, 2.0$  и при различных значениях параметра  $G = 3, 10, 30, 100, 300$ . Одновременно по (9) подсчитывалось число Маха  $M$ . Результаты сводятся к следующему:

1) При минимальном из выбранных  $X_0$ , т. е.  $X_0 = 1.1l$ , предельная скорость шарика заметно меньше рассчитанной по (5), а обтекание становится дозвуковым при скоростях, заметно меньших предельной. Это иллюстрируется фиг. 2, где пунктирная кривая 1 соответствует предельной скорости шарика (отнесенной к  $D$ ) при  $X_0 = 1.1l$ , а пунктирная кривая 2 — скорости шарика в момент, когда  $M = 1$ , при том же условии  $X_0 = 1.1l$ .

2) При дальнейшем увеличении  $X_0$  кривая 2 быстро приближается к 1, и уже при  $X_0 = 1.5l$  они становятся неразличимыми в масштабе фиг. 2. Вместе с тем обе кривые приближаются к сплошной.

Нагрузки, действующие на шарик в процессе разгона, можно охарактеризовать отношением ускоряющей силы к поперечному сечению шарика  $\sigma = F / \pi r^2$ . Очевидно

$$\sigma = 4/3 r \rho_1 X'' \quad (10)$$

Для сохранности шарика необходимо, чтобы величина  $\sigma$  не превосходила некоторое, свойственное данному материалу, критическое значение  $\sigma_*$ . Из (10) следует, что сохранность шарика легче всего достигается путем уменьшения его размера.

Необходимо отметить, что в действительности скорость шарика определяется не только параметрами  $D$  и  $G$ , но и видом зависимости  $\gamma = \gamma(\rho)$  для выбранного ВВ. Для большинства ВВ по мере разрежения  $\gamma$  уменьшается примерно от 3 до 1.25. Исходное предположение  $\gamma = \text{const} = 3$  приводит к занижению расчетной скорости относительно действительной.

Автор признателен А. Е. Хопёрскому за помощь и внимание к работе.

Поступила 31 VII 1963

#### ЛИТЕРАТУРА

1. Станюкович К. П. Неустановившиеся движения сплошной среды. Гостехтеоретиздат, 1955, стр. 440.
2. H o d g e s A. J. The Drag Coefficient of Very High Velocity Spheres. J. Aeronaut. Sci., October 1957, 24, No, 10, p. 755.

#### ОБ ЭФФЕКТИВНОЙ ТЕМПЕРАТУРЕ ГОРЕНИЯ НЕКОТОРЫХ ВЗРЫВЧАТЫХ ВЕЩЕСТВ

А. Ф. Беляев, Г. В. Лукашени

(Москва)

При горении взрывчатых веществ (ВВ) и порохов реакции превращения являются сложными и протекают в несколько последовательных стадий [1-4]. Обычно одна из этих стадий «ведущая» и определяет, задает скорость горения, другие стадии — «подчиненные», или совсем не влияют на скорость горения, или влияют слабо. Не учитывая взаимодействия стадий, ограничимся рассмотрением одной ведущей стадии, температуру которой будем обозначать  $T_g$  (эффективная температура).

Известно [3], что для реакций, протекающих в конденсированной фазе бездымного пороха, характерна температура 600—700° К. Реакциям в дымо-газовой фазе [3] соответствует температура [5] 1200—1500° К; эти же температуры могут быть у реакций в газовой фазе при неполном химическом превращении.

Возможность оценки  $T_g$  — температуры ведущей стадии реакции, позволяет приблизительно установить ее характер. Было отмечено [6], что значение температурного коэффициента скорости горения  $\beta = d \ln u / d T_g$ , определяемого зависимостью скорости горения  $u$  от начальной температуры  $T_0$ , играет роль своеобразного индикатора, указывающего значение  $T_g$ .